

Р.Р. Левицький¹, І.Р. Зачек², А.С. Вдович¹

Поперечна релаксація в сегнетоелектриках з водневими зв'язками сім'ї KN_2PO_4

¹Інститут фізики конденсованих систем НАН України,
вул. Свенціцького, 1, Львів, 79011, Україна, E-mail: vas@ph.icmp.lviv.ua
²Національний університет "Львівська політехніка"
вул. С. Бандери 12, 79013, Львів, Україна

У рамках модифікованої моделі протонного впорядкування з врахуванням лінійних за деформаціями ϵ_6 і ϵ_4 внесків в енергію протонної системи в наближенні чотиричастинкового кластера за короткосяжними і середнього поля за далекосяжними взаємодіями розраховано поперечні динамічні діелектричні характеристики для механічно затиснутих і механічно вільних кристалів типу KD_2PO_4 . Проведено ґрунтовний числовий аналіз отриманих результатів. Знайдено оптимальний набір мікропараметрів, який дав змогу на належному рівні описати наявні експериментальні дані для сегнетоелектриків KN_2PO_4 , $\text{K}(\text{H}_{0,07}\text{D}_{0,93})_2\text{PO}_4$, KN_2AsO_4 і RbH_2PO_4 .

Ключові слова: сегнетоелектрики, кластерне наближення, поперечна динамічна проникність, п'єзоелектричний резонанс.

Стаття постуила до редакції 15.07.2008; прийнята до друку 15.03.2009.

Вступ

Сегнетоелектрики типу MD_2XO_4 ($\text{M} = \text{K}, \text{Rb}; \text{X} = \text{P}, \text{As}$) у параелектричній фазі кристалізуються в класі $\bar{4} \cdot m$ тетрагональної сингонії (просторова група $I\bar{4}2d$ з нецентросиметричною точковою групою D_{2d}) і тому вони володіють п'єзоелектричними властивостями. При прикладанні відповідних електричних полів і зсувних напруг певної симетрії є можливість вивчати роль п'єзоелектричних взаємодій у фазовому переході та їх вплив на фізичні характеристики цих кристалів. Важливим є також і те, що в цих кристалах при сегнетоелектричному фазовому переході виникає спонтанна деформація $\epsilon_6 = \epsilon_{12}$, яка приводить до зміни їх симетрії.

Фундаментальні результати для сегнетоактивних сполук сім'ї KN_2PO_4 отримані в роботах [1-8]. При цьому для деформованих кристалів типу KN_2PO_4 вперше було модифіковано [1,2], врахувавши деформацію ϵ_6 , гамільтоніан протонної моделі, який містить деформаційне молекулярне поле і враховує лише розщеплення енергій бічних протонних конфігурацій. Пізніше в роботах [3,4], врахувавши усі можливі розщеплення енергій протонних конфігурацій, які зумовлені деформацією ϵ_6 , було вперше розраховано і досліджено термодинамічні, діелектричні, п'єзоелектричні та пружні характеристики

сегнетоелектриків типу KD_2PO_4 . Було досліджено фазовий перехід і вплив напруги σ_6 та поля E_3 на фізичні характеристики кристаллу $\text{K}(\text{H}_{0,12}\text{D}_{0,88})_2\text{PO}_4$. Дослідження термодинамічних і поздовжніх п'єзоелектричних та пружних характеристик сегнетоелектриків типу KN_2PO_4 з врахуванням тунелювання та п'єзоелектричної взаємодії проведено в роботах [5,6]. Показано, що при належному виборі параметрів теорії має місце добрий кількісний опис запропонованого теорією відповідних експериментальних даних для цих характеристик. Слід також відзначити, що в роботі [7] проведено ґрунтовне дослідження механізму виникнення спонтанної деформації ϵ_6 у сегнетоелектриках типу KN_2PO_4 та вплив на неї взаємодії протонів з акустичними коливаннями ґратки. Робота [8] присвячена дослідженню в рамках модифікованої протонної моделі теплових і поздовжніх діелектричних, п'єзоелектричних та пружних характеристик кристалів типу $\text{M}(\text{H}_{1-x}\text{D}_x)_2\text{XO}_4$ без врахування тунелювання. Крім того, вивчено релаксаційні явища в механічно затиснутих і механічно вільних кристалах цього типу, а також розраховано для них поглинання і швидкість ультразвуку. Було встановлено, що п'єзоелектрична взаємодія слабо впливає на величину спонтанної поляризації і молярної теплоємності, але приводить до відмінності між діелектричними проникностями механічно

затиснутого і вільного кристалів.

Актуальним є дослідження фізичних характеристик сегнетоелектриків MD_2XO_4 при прикладанні до них поперечних зовнішніх електричних полів E_1 і E_2 та зсувних напруг σ_4 і σ_5 , які незалежно індукують відповідні внески в поляризації P_1 і P_2 та деформації ϵ_4 і ϵ_5 цих кристалів із врахуванням при цьому наявності в них спонтанної деформації ϵ_6 . Слід відзначити, що в переважній більшості робіт, присвячених дослідженню поперечних діелектричних характеристик кристалів MD_2XO_4 , п'єзоелектричні взаємодії не враховувались.

Поперечна релаксація в сегнетоелектриках типу KD_2PO_4 в рамках моделі протонного впорядкування вивчалась в роботах [9-11]. У наближенні чотиричастинкового кластера, нехтуючи далекосяжними взаємодіями, було розраховано поперечні статичну і комплексну діелектричні проникності та часи релаксації KD_2PO_4 . Була зроблена спроба обговорення на основі запропонованої теорії експериментальних даних робіт [12,13], але вона не була реалізована на належному рівні. Пізніше поперечна релаксація в сегнетоелектриках типу KD_2PO_4 вивчалась і в роботах [14-18]. У цих роботах у наближенні чотиричастинкового кластера з врахуванням короткосяжних та далекосяжних взаємодій було розраховано поперечні статичні та динамічні характеристики сегнетоелектриків типу KD_2PO_4 . Було показано, що при належному виборі параметрів теорії має місце задовільний кількісний опис запропованою теорією наявних експериментальних даних [17-19].

В роботах [20-22] була розвинена більш послідовна теорія динамічних явищ в сегнетоактивних сполуках сім'ї KN_2PO_4 з врахуванням в рамках кластерного наближення тунелювання. Було вперше встановлено, що динамічні характеристики в цих кристалах визначаються ефективним параметром тунелювання, перенормованим короткодією. Слід відзначити, що ефективне тунелювання є значно меншим від відповідного параметра, який входить в гамільтоніан моделі. Фактично, має місце суттєве пригнічення тунелювання протонів на водневих зв'язках в сегнетоактивних сполуках сім'ї KN_2PO_4 .

У роботі [23] вперше було модифіковано протонну модель сегнетоактивних сполук сім'ї KN_2PO_4 шляхом врахування лінійних за деформаціями ϵ_4 і ϵ_5 внесків в енергію протонної системи. В наближенні чотиричастинкового кластера з врахуванням тунелювання було розраховано діелектричні, п'єзоелектричні та пружні характеристики сегнетоелектрика KN_2PO_4 та антисегнетоелектрика $NH_4N_2PO_4$. Для парафазі отримано добре узгодження результатів розрахунку цих характеристик з відповідними експериментальними даними.

У цій роботі в рамках модифікованої моделі з врахуванням лінійних за деформаціями ϵ_4 і ϵ_6 внесків в енергію протонної системи, але без врахування

тунелювання протонів на водневих зв'язках у наближенні чотиричастинкового кластера будуть розраховані поперечні динамічні характеристики механічно вільних та механічно затиснутих сегнетоелектриків типу KD_2PO_4 . Буде проведено детальний числовий аналіз отриманих результатів та їх порівняння з наявними експериментальними даними для цього типу кристалів.

I. Гамільтоніан кристалу

Розглянемо систему дейтронів, які рухаються на O-D...O зв'язках в дейтерованих сегнетоелектричних ортофосфатах (ДСОФ). Примітивна комірка ґратки Браве ДСОФ складається з двох тетраедрів PO_4 разом з чотирма водневими зв'язками, що відносяться до одного з них (тетраедра типу "А"); водневі зв'язки, які підходять до другого тетраедра (типу "В"), належать чотирьом найближчим структурним елементам, які його оточують (рис. 1). Тут ①, ②, ③ і ④ – водневі зв'язки, 1, 2 – положення дейтронів на цих

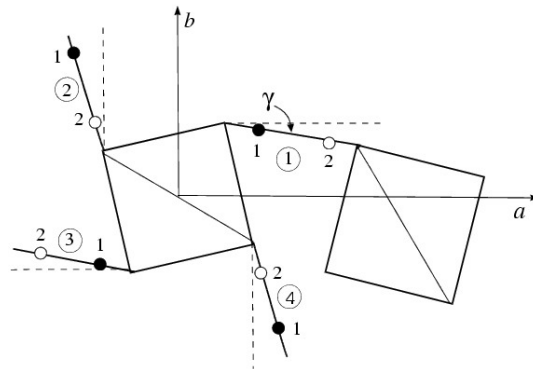


Рис. 1. Примітивна комірка ґратки Браве ДСОФ. Показано одну з числа можливих сегнетоелектричних протонних конфігурацій.

зв'язках.

Гамільтоніан дейтронної системи ДСОФ з врахуванням короткосяжних і далекосяжних взаємодій при наявності одновісної напруги $\sigma_4 = \sigma_{23}$ кристалу в площині (b, c) під кутом $\frac{\pi}{4}$ до осей, коли виникає деформація $\epsilon_4 = \epsilon_{23}$ і при прикладанні зовнішнього поля E_1 , напрямленого вздовж кристалографічної осі a , складається із "затравочної" та псевдоспінової частин:

$$\hat{H} = NH^0 + \hat{H}_s, \quad (2.1)$$

де N – загальна кількість примітивних комірок. "Затравочна" частина енергії примітивної комірки, яка виражається через деформації ϵ_j ($j = 4, 6$) і електричне поле E_1 , включає в себе пружну, п'єзоелектричну та діелектричну складові:

$$H^0 = \frac{\bar{v}}{2}(c_{44}^{E0} \epsilon_4^2 + c_{66}^{E0} \epsilon_6^2) - \bar{v} e_{14}^0 \epsilon_4 E_1 - \frac{\bar{v}}{2} \chi_{11}^{E0} E_1^2. \quad (2.2)$$

Перші два доданки в правій частині (2.2) –

пружна енергія, яка не залежить від розміщення дейтронів на водневих зв'язках ($c_{66}^{E_0}, c_{44}^{E_0}$ – “затравочні” пружні сталі); третій – енергія взаємодій між поляризацією, що виникає за рахунок п'єзоелектричного ефекту при деформації ε_4 без врахування водневих зв'язків і полем E_1 (e_{14}^0 – “затравочний” коефіцієнт п'єзоелектричної напруги); четвертий доданок відповідає енергії, яка зумовлена поляризацією, що індукована зовнішнім електричним полем незалежно від конфігурацій дейтронів на водневих зв'язках ($\chi_{11}^{E_0}$ – “затравочна” діелектрична сприйнятливність), $\bar{v} = \frac{v}{k_B}$, v – об'єм примітивної комірки, k_B – стала Больцмана.

Псевдоспінова частина гамільтоніану має вигляд

$$\hat{H}_s = \frac{1}{2} \sum_{qf, q'f'} J_{ff'}(qq') \frac{\langle \sigma_{qf} \rangle \langle \sigma_{q'f'} \rangle}{2} - \sum_{qf} 2\mu F_f \frac{\sigma_{qf}}{2} + \hat{H}_{к.в.} - \sum_{qf} \mu_{f1} E_1 \frac{\sigma_{qf}}{2}. \quad (2.3)$$

Перші два доданки в (2.3) – гамільтоніан середнього поля за далекосяжними диполь-дипольними взаємодіями і непрямими через коливання ґратки міждейтронними взаємодіями, а також середнього поля, індукованого п'єзоелектричною взаємодією, причому

$$\mu F_3 = v_1 \eta_1^{(1)} + v_3 \eta_3^{(1)} + v_2 \eta_2^{(1)} + v_2 \eta_4^{(1)} - \psi_6 \varepsilon_6 \pm \psi_4 \varepsilon_4,$$

$$\mu F_4 = v_2 \eta_1^{(1)} + v_2 \eta_3^{(1)} + v_1 \eta_2^{(1)} + v_1 \eta_4^{(1)} - \psi_6 \varepsilon_6,$$

де $\eta_f^{(1)} = \langle \sigma_{qf} \rangle$ – середнє значення ізінгівського псевдоспіна $\sigma_{qf} = \pm 1$, два власні значення якого відповідають двом рівноважним положенням дейтрона на f -ому зв'язку в q -ій комірці;

$$v_1 = \frac{J_{11}}{4}, \quad v_2 = \frac{J_{12}}{4}, \quad v_3 = \frac{J_{13}}{4},$$

а $J_{ff'} = \sum_{R_q - R_{q'}} J_{ff'}(qq')$ – фур'є-образ константи

далекосяжних взаємодій між дейтронами; ψ_4, ψ_6 – т. зв. деформаційні потенціали. В (2.3) μ_{f1} – ефективні дипольні моменти водневих зв'язків, які, як показано в [24], дорівнюють сумі дипольних моментів тетрадрів і водневих зв'язків, причому

$$\mu_{11} = -\mu_{31} = \mu_1 \cos \gamma, \quad \mu_{21} = -\mu_{41} = \mu_2 \sin \gamma.$$

$\hat{H}_{к.в.}$ – гамільтоніан короткосяжних конфігураційних взаємодій між дейтронами поблизу тетрадрів PO_4 . Враховуючи специфіку кристалічної структури ДСОФ для розрахунку динамічних характеристик використаємо наближення чотиричастинкового кластера за короткосяжними взаємодіями. Чотиричастинковий гамільтоніан $\hat{H}_q^{(4)}$ дейтронів має вигляд:

$$\begin{aligned} \hat{H}_q^{(4)} = & (-\delta_{s6} \varepsilon_6 - 2\delta_{16} \varepsilon_6) \left(\frac{\sigma_{q1} \sigma_{q2} \sigma_{q3}}{2} + \frac{\sigma_{q1} \sigma_{q2} \sigma_{q4}}{2} + \frac{\sigma_{q1} \sigma_{q3} \sigma_{q4}}{2} + \frac{\sigma_{q2} \sigma_{q3} \sigma_{q4}}{2} \right) + \\ & + 2(\delta_{a4} \varepsilon_4 - \delta_{14} \varepsilon_4) \left(\frac{\sigma_{q1} \sigma_{q2} \sigma_{q4}}{2} - \frac{\sigma_{q2} \sigma_{q3} \sigma_{q4}}{2} \right) + (V + \delta_{a6} \varepsilon_6) \left(\frac{\sigma_{q1} \sigma_{q2}}{2} + \frac{\sigma_{q3} \sigma_{q4}}{2} \right) + (V - \delta_{a6} \varepsilon_6) \left(\frac{\sigma_{q2} \sigma_{q3}}{2} + \frac{\sigma_{q4} \sigma_{q1}}{2} \right) + \\ & + U \left(\frac{\sigma_{q1} \sigma_{q3}}{2} + \frac{\sigma_{q2} \sigma_{q4}}{2} \right) + \Phi \frac{\sigma_{q1} \sigma_{q2} \sigma_{q3} \sigma_{q4}}{2} - \frac{1}{4} (\delta_{s6} \varepsilon_6 - 2\delta_{16} \varepsilon_6) \sum_{f=1}^4 \frac{\sigma_{qf}}{2} - \frac{1}{2} (\delta_{a4} \varepsilon_4 + \delta_{14} \varepsilon_4) \left(\frac{\sigma_{q1}}{2} - \frac{\sigma_{q3}}{2} \right) - \sum_{f=1}^4 \frac{x_{f4}}{\beta} \frac{\sigma_{qf}}{2}. \quad (2.4) \end{aligned}$$

Тут використані такі позначення:

$$V = -\frac{w_1}{2}, \quad U = \frac{w_1}{2} - \varepsilon, \quad \Phi = 4\varepsilon - 8w + 2w_1,$$

де $\varepsilon = \varepsilon_a - \varepsilon_s$, $w = \varepsilon_1 - \varepsilon_s$, $w_1 = \varepsilon_0 - \varepsilon_s$ – т. зв. слетерівські енергії, а ε_s , ε_a , ε_1 і ε_0 – енергії конфігурацій дейтронів поблизу тетраедра PO_4 ; $\delta_{s6}, \delta_{16}, \delta_{a6}, \delta_{14}, \delta_{a4}$ – деформаційні потенціали;

$$x_{34} = \beta [-\Delta_4 + 2v_1 \eta_1^{(1)} + 2v_3 \eta_3^{(1)} + 2v_2 \eta_2^{(1)} + 2v_2 \eta_4^{(1)} - 2\psi_6 \varepsilon_6 \pm 2\psi_4 \varepsilon_4 \pm \mu_1 \cos \gamma E_1],$$

$$x_{44} = \beta [-\Delta_4 + 2v_2 \eta_1^{(1)} + 2v_2 \eta_3^{(1)} + 2v_1 \eta_2^{(1)} + 2v_1 \eta_4^{(1)} - 2\psi_6 \varepsilon_6 \pm \mu_2 \sin \gamma E_1], \quad (2.5)$$

де Δ_4 – ефективне поле, яке створене сусідніми поза межами кластера зв'язками. Одночастинковий гамільтоніан дейтронів мають вигляд

$$\hat{H}_{qf}^{(1)}(j) = \frac{\bar{x}_{f4}}{\beta} \frac{\sigma_{qf}}{2}, \quad (2.6)$$

де

$$\bar{x}_{f4} = -\beta \Delta_4 + x_{f4}.$$

II. Системи рівнянь для залежних від часу функцій розподілу

Поперечні динамічні властивості MD_2XO_4 будемо вивчати на основі динамічної моделі ДСОФ, яка ґрунтується на ідеях стохастичної моделі Глаубера [25]. На основі методики, яка розвинута в роботах [14-17], отримуємо наступну систему рівнянь для залежних від часу функцій розподілу

$$\begin{aligned}
 m_{1_4^x}^x &= \tanh \frac{\beta}{2} [(\varepsilon - w) - (\delta_{a_6} + \delta_{1_6})\varepsilon_6 \mp (\delta_{a_4} - \delta_{1_4})\varepsilon_4 + \frac{1}{\beta} x_{2_4^x}], \\
 m_{2_4^x}^x &= \tanh \frac{\beta}{2} [-(\varepsilon - w) - (\delta_{a_6} + \delta_{1_6})\varepsilon_6 \pm (\delta_{a_4} - \delta_{1_4})\varepsilon_4 + \frac{1}{\beta} x_{2_4^x}], \\
 m_{3_4^x}^x &= \tanh \frac{\beta}{2} [(\varepsilon - w) - (\delta_{a_6} - \delta_{1_6})\varepsilon_6 \pm (\delta_{a_4} - \delta_{1_4})\varepsilon_4 + \frac{1}{\beta} x_{2_4^x}], \\
 m_{4_4^x}^x &= \tanh \frac{\beta}{2} [-(\varepsilon - w) + (\delta_{a_6} - \delta_{1_6})\varepsilon_6 \mp (\delta_{a_4} - \delta_{1_4})\varepsilon_4 + \frac{1}{\beta} x_{2_4^x}].
 \end{aligned} \tag{3.5}$$

Враховуючи (3.3) на основі (3.1) отримуємо систему 14 рівнянь для залежних від часу унарних, потрійних і парних функцій розподілу ДСОФ:

$$\alpha \frac{d}{dt} \begin{pmatrix} \eta_1^{(1)x} \\ \eta_3^{(1)x} \\ \eta_2^{(1)x} \\ \eta_4^{(1)x} \\ \eta_1^{(3)x} \\ \eta_3^{(3)x} \\ \eta_2^{(3)x} \\ \eta_4^{(3)x} \\ \eta_1^{(2)x} \\ \eta_{23}^{(2)x} \\ \eta_{12}^{(2)x} \\ \eta_{34}^{(2)x} \\ \eta_{13}^{(2)x} \\ \eta_{24}^{(2)x} \end{pmatrix} = \begin{pmatrix} \bar{a}_{11} & \bar{a}_{12} & \dots & \bar{a}_{114} \\ \bar{a}_{21} & \bar{a}_{22} & \dots & \bar{a}_{214} \\ \bar{a}_{31} & \bar{a}_{32} & \dots & \bar{a}_{314} \\ \bar{a}_{41} & \bar{a}_{42} & \dots & \bar{a}_{414} \\ \bar{a}_{51} & \bar{a}_{52} & \dots & \bar{a}_{514} \\ \bar{a}_{61} & \bar{a}_{62} & \dots & \bar{a}_{614} \\ \bar{a}_{71} & \bar{a}_{72} & \dots & \bar{a}_{714} \\ \bar{a}_{81} & \bar{a}_{82} & \dots & \bar{a}_{814} \\ \bar{a}_{91} & \bar{a}_{92} & \dots & \bar{a}_{914} \\ \bar{a}_{101} & \bar{a}_{102} & \dots & \bar{a}_{1014} \\ \bar{a}_{111} & \bar{a}_{112} & \dots & \bar{a}_{1114} \\ \bar{a}_{121} & \bar{a}_{122} & \dots & \bar{a}_{1214} \\ \bar{a}_{131} & \bar{a}_{132} & \dots & \bar{a}_{1314} \\ \bar{a}_{141} & \bar{a}_{142} & \dots & \bar{a}_{1414} \end{pmatrix} \begin{pmatrix} \eta_1^{(1)x} \\ \eta_3^{(1)x} \\ \eta_2^{(1)x} \\ \eta_4^{(1)x} \\ \eta_1^{(3)x} \\ \eta_3^{(3)x} \\ \eta_2^{(3)x} \\ \eta_4^{(3)x} \\ \eta_1^{(2)x} \\ \eta_{23}^{(2)x} \\ \eta_{12}^{(2)x} \\ \eta_{34}^{(2)x} \\ \eta_{13}^{(2)x} \\ \eta_{24}^{(2)x} \end{pmatrix} + \begin{pmatrix} \bar{a}_1 \\ \bar{a}_2 \\ \bar{a}_3 \\ \bar{a}_4 \\ \bar{a}_5 \\ \bar{a}_6 \\ \bar{a}_7 \\ \bar{a}_8 \\ \bar{a}_9 \\ \bar{a}_{10} \\ \bar{a}_{11} \\ \bar{a}_{12} \\ \bar{a}_{13} \\ \bar{a}_{14} \end{pmatrix}. \tag{3.6}$$

де

$$\begin{aligned}
 \eta_f^{(1)x} &= \langle \sigma_{qf} \rangle, \\
 \eta_3^{(3)x} &= \langle \sigma_{q_1}^2 \sigma_{q_2}^3 \sigma_{q_4}^4 \rangle, \quad \eta_2^{(3)x} = \langle \sigma_{q_1}^1 \sigma_{q_2}^3 \sigma_{q_3}^4 \rangle, \\
 \eta_{14}^{(2)x} &= \langle \sigma_{q_2}^1 \sigma_{q_3}^4 \rangle, \quad \eta_{12}^{(2)x} = \langle \sigma_{q_3}^1 \sigma_{q_4}^2 \rangle, \quad \eta_{24}^{(2)x} = \langle \sigma_{q_2}^1 \sigma_{q_3}^4 \rangle.
 \end{aligned}$$

Вирази для коефіцієнтів \bar{a}_{ij} системи (3.6) наведені в роботі [26].

В одночастинковому наближенні із (3.1) отримуємо:

$$\frac{d}{dt} \eta_f^{(1)} = -\frac{1}{\alpha} \eta_f^{(1)} + \frac{1}{\alpha} \tanh \frac{1}{2} \bar{x}_{f4}. \tag{3.7}$$

III. Поперечні динамічні характеристики механічно вільного кристалу MD_2XO_4

Будемо розглядати коливання тонкої квадратної пластинки кристалу ДСОФ, яка вирізана в площині $[1,0,0]$ зі сторонами завдовжки l під дією зовнішнього змінного електричного поля $E_{1r} = E_1 e^{i\omega t}$. Таке зовнішнє поле, окрім зсувної деформації ε_4 ,

індукує у кристалі ще й діагональні компоненти тензора деформації ε_i . Однак для простоти розгляду динамічних характеристик будемо нехтувати діагональними деформаціями. Спонтанну деформацію ε_6 вважатимемо незалежною від часу.

Динаміку деформаційних процесів у кристалі будемо описувати мовою класичних рівнянь руху елементарного об'єму кристалу, які мають наступний вигляд:

$$\rho \frac{\partial^2 u_i}{\partial t^2} = \sum_k \frac{\partial \sigma_{ik}}{\partial x_k}, \tag{4.1}$$

де ρ – густина кристалу, u_i – зміщення елементарного об'єму вздовж осі x_i , σ_{ik} – механічна напруга. Зсувну деформацію ε_4 визначають зміщення u_2 та u_3 :

$$\varepsilon_4 = \frac{\partial u_2}{\partial z} + \frac{\partial u_3}{\partial y}. \tag{4.2}$$

У нашому випадку відмінною від нуля є зсувна напруга $\sigma_4 = \sigma_{23}$, яка має наступний вигляд [26]:

$$\sigma_4 = c_{44}^{E0} \varepsilon_4 - e_{14}^0 E_1 \frac{2\tilde{\psi}_4}{\bar{v}} \frac{1}{2} [\eta_1^{(1)} - \eta_3^{(1)}] - \frac{2\tilde{\delta}_{a4} \Omega_{s14}^a}{\bar{v} D_4} - \frac{2\tilde{\delta}_{14} \Omega_{s24}^b}{\bar{v} D_4}. \tag{4.3}$$

Із рівнянь (4.1) знаходимо, що

$$\begin{aligned}
 \rho \frac{\partial^2 u_2}{\partial t^2} &= c_{44}^{E0} \frac{\partial \varepsilon_4}{\partial z} - \frac{\tilde{\psi}_4}{\bar{v}} \left[\frac{\partial \eta_1^{(1)}}{\partial z} - \frac{\partial \eta_3^{(1)}}{\partial z} \right] - \\
 &- \frac{2\tilde{\delta}_{a4}}{\bar{v}} \frac{\partial}{\partial z} \left(\frac{\Omega_{s14}^a}{D_4} \right) - \frac{2\tilde{\delta}_{14}}{\bar{v}} \frac{\partial}{\partial z} \left(\frac{\Omega_{s24}^b}{D_4} \right), \\
 \rho \frac{\partial^2 u_3}{\partial t^2} &= c_{44}^{E0} \frac{\partial \varepsilon_4}{\partial y} - \frac{2\tilde{\psi}_4}{\bar{v}} \left[\frac{\partial \eta_1^{(1)}}{\partial y} - \frac{\partial \eta_3^{(1)}}{\partial y} \right] - \\
 &- \frac{2\tilde{\delta}_{a4}}{\bar{v} D_4} \frac{\partial \Omega_{s14}^a}{\partial y} - \frac{2\tilde{\delta}_{14}}{\bar{v} D_4} \frac{\partial \Omega_{s24}^b}{\partial y}.
 \end{aligned} \tag{4.4}$$

При малих відхиленнях від стану рівноваги виділимо в системах (3.6), (3.7), (4.4) статичну і часозалежну частини, записавши функції розподілу, ефективні поля, зміщення u_2 і u_3 і деформацію ε_4 у вигляді двох доданків – рівноважних функцій і їх відхилень від стану рівноваги:

$$\eta_f^{(1)x} = \eta^{(1)} + \eta_f^{(1)x}, \quad \eta_f^{(3)x} = \eta^{(3)} + \eta_f^{(3)x},$$

$$\begin{aligned} \eta_{14}^{(2)x} &= \eta_{11}^{(2)} + \eta_{14t}^{(2)x}, \quad \eta_{12}^{(2)x} = \eta_{21}^{(2)} + \eta_{12t}^{(2)x}, \\ \eta_{13}^{(2)x} &= \eta_{31}^{(2)} + \eta_{13t}^{(2)x}, \quad u_{2,3} = \tilde{u}_{2,3} + u_{2,3t}, \\ \varepsilon_4 &= \tilde{\varepsilon}_4 + \varepsilon_{4t} = \tilde{\varepsilon}_4 + \frac{\partial u_{2t}}{\partial z} + \frac{\partial u_{3t}}{\partial y}, \quad \Delta_4 = \tilde{\Delta}_4 + \Delta_{4t}. \end{aligned} \quad (4.5)$$

Розкладаючи коефіцієнти P_1^x, \dots, L_4^x (3.4) у ряд за

часозалежними доданками і виключаючи параметри Δ_{4t} , із системи рівнянь (3.6), (3.7) отримуємо дві системи рівнянь відносно змінних $\eta_{\pm t}^{(1)x} = \eta_{(1-3)t}^{(1)x} \pm \eta_{(2-4)t}^{(1)x}$, $\eta_{\pm t}^{(3)x} = \eta_{(1-3)t}^{(3)x} \pm \eta_{(2-4)t}^{(3)x}, \eta_{1t}^{(2)x}$:

$$\begin{aligned} \frac{d}{dt} \begin{pmatrix} \eta_{+t}^{(1)x} \\ \eta_{+t}^{(3)x} \\ \eta_{2t}^{(2)x} \end{pmatrix} &= \begin{pmatrix} a_{11} + a_{12} & a_{13} & 2a_{16} \\ a_{31} + a_{32} & a_{33} + a_{34} & 2a_{36} \\ -a_{61} & -a_{63} & a_{66} \end{pmatrix} \begin{pmatrix} \eta_{+t}^{(1)x} \\ \eta_{+t}^{(3)x} \\ \eta_{2t}^{(2)x} \end{pmatrix} - \beta E_{1t} (\mu_1 \cos \gamma + \mu_2 \sin \alpha) \begin{pmatrix} a_1 \\ a_3 + a_4 \\ a_6 \end{pmatrix} - \beta \psi_4 \varepsilon_{4t} \begin{pmatrix} 2a_1 \\ 2(a_3 + a_4) \\ 2a_6 \end{pmatrix} - \\ &\quad - \beta \delta_{14} \varepsilon_{4t} \begin{pmatrix} a_{141} + a_{142} \\ a_{143} + a_{144} \\ a_{146} \end{pmatrix} - \beta \delta_{a4} \varepsilon_{4t} \begin{pmatrix} a_{a41} + a_{a42} \\ a_{a43} + a_{a44} \\ a_{a46} \end{pmatrix}, \end{aligned} \quad (4.6)$$

$$\begin{aligned} \frac{d}{dt} \begin{pmatrix} \eta_{-t}^{(1)x} \\ \eta_{-t}^{(3)x} \\ \eta_{1t}^{(2)x} \end{pmatrix} &= \begin{pmatrix} a_{11} - a_{12} & a_{13} & 2a_{15} \\ a_{31} - a_{32} & a_{33} - a_{34} & 2a_{35} \\ -a_{51} & -a_{53} & a_{55} \end{pmatrix} \begin{pmatrix} \eta_{-t}^{(1)x} \\ \eta_{-t}^{(3)x} \\ \eta_{1t}^{(2)x} \end{pmatrix} - \beta E_{1t} (\mu_1 \cos \gamma - \mu_2 \sin \gamma) \begin{pmatrix} a_1 \\ a_3 - a_4 \\ a_5 \end{pmatrix} - \beta \psi_4 \varepsilon_{4t} \begin{pmatrix} 2a_1 \\ 2(a_3 - a_4) \\ 2a_5 \end{pmatrix} - \\ &\quad - \beta \delta_{14} \varepsilon_{4t} \begin{pmatrix} a_{141} - a_{142} \\ a_{143} - a_{144} \\ a_{145} \end{pmatrix} - \beta \delta_{a4} \varepsilon_{4t} \begin{pmatrix} a_{a41} - a_{a42} \\ a_{a43} - a_{a44} \\ a_{a45} \end{pmatrix}. \end{aligned} \quad (4.7)$$

Вирази для коефіцієнтів a_{ij}, a_{14f}, a_{a4f} наведені в роботі [26]. Враховуючи співвідношення (4.5), рівняння для зміщень (4.4) запишемо у наступному

вигляді:

$$\begin{aligned} \rho \frac{\partial^2 u_{2t}}{\partial t^2} &= c_{14} \frac{\partial \varepsilon_{4t}}{\partial z} + c_{24} \frac{\partial}{\partial z} \frac{1}{2} [\eta_{1t}^{(1)} - \eta_{3t}^{(1)}] + c_{34} \frac{\partial}{\partial z} \frac{1}{2} [\eta_{2t}^{(1)} - \eta_{4t}^{(1)}], \\ \rho \frac{\partial^2 u_{3t}}{\partial t^2} &= c_{14} \frac{\partial \varepsilon_{4t}}{\partial e} + c_{24} \frac{\partial}{\partial y} \frac{1}{2} [\eta_{1t}^{(1)} - \eta_{3t}^{(1)}] + c_{34} \frac{\partial}{\partial y} \frac{1}{2} [\eta_{2t}^{(1)} - \eta_{4t}^{(1)}]. \end{aligned} \quad (4.8)$$

Тут використані наступні позначення:

$$\begin{aligned} c_{14} &= c_{44}^{E0} + \frac{2\tilde{\psi}_4}{\tilde{v}DT} (\tilde{\delta}_{a4} \Omega_1^a + \tilde{\delta}_{14} 2\Omega^b) - \frac{2}{\tilde{v}DT} (\tilde{\delta}_{a4}^2 \Omega_1^a + \tilde{\delta}_{14}^2 2\Omega^b), \\ c_{24} &= -\frac{2\tilde{\psi}_4}{\tilde{v}} + \frac{2\varphi_a^7}{\tilde{v}D} (\tilde{\delta}_{a4} \Omega_1^a + \tilde{\delta}_{14} 2\Omega^b), \quad c_{34} = \frac{2\varphi_a^7}{\tilde{v}D} \tilde{\delta}_{a4} \Omega_2^a. \end{aligned}$$

Розв'язуючи системи рівнянь (4.6)-(4.8), отримуємо, що

$$\begin{aligned} \eta_{(1-3)E(2-4)}^{(1)x}(4, y, z) &= \frac{\beta \mu_1}{2} \cos \gamma [F_+^{(1)}(\omega) \pm F_-^{(1)}(\omega)] E_1 + \frac{\beta \mu_2}{2} \sin \gamma [F_+^{(1)}(\omega) \mp F_-^{(1)}(\omega)] E_1 + \\ &+ \left\{ \frac{\beta \psi_4}{2} [F_{4+}^{(1)}(\omega) \pm F_{4-}^{(1)}(\omega)] + \frac{\beta \delta_{14}}{2} [F_{14+}^{(1)}(\omega) \pm F_{14-}^{(1)}(\omega)] \mp \frac{\beta \delta_{a4}}{2} [F_{a4+}^{(1)}(\omega) \pm F_{a4-}^{(1)}(\omega)] \right\} \varepsilon_{4E}(y, z), \end{aligned} \quad (4.9)$$

де використані наступні позначення:

$$\begin{aligned} F_{\pm}^{(1)} &= \frac{(i\omega)^2 m_{\pm}^{(2)} + (i\omega) m_{\pm}^{(1)} + m_{\pm}^{(0)}}{(i\omega)^3 + (i\omega)^2 m_{2\pm} + (i\omega) m_{1\pm} + m_{0\pm}}, \\ F_{4\pm}^{(1)} &= \frac{(i\omega)^2 m_{4\pm}^{(2)} + (i\omega) m_{4\pm}^{(1)} + m_{4\pm}^{(0)}}{(i\omega)^3 + (i\omega)^2 m_{2\pm} + (i\omega) m_{1\pm} + m_{0\pm}}, \\ F_{14\pm}^{(1)} &= \frac{(i\omega)^2 m_{14\pm}^{(2)} + (i\omega) m_{14\pm}^{(1)} + m_{14\pm}^{(0)}}{(i\omega)^3 + (i\omega)^2 m_{2\pm} + (i\omega) m_{1\pm} + m_{0\pm}}, \\ F_{a4\pm}^{(1)} &= \frac{(i\omega)^2 m_{a4\pm}^{(2)} + (i\omega) m_{a4\pm}^{(1)} + m_{a4\pm}^{(0)}}{(i\omega)^3 + (i\omega)^2 m_{2\pm} + (i\omega) m_{1\pm} + m_{0\pm}}. \end{aligned}$$

Вирази для коефіцієнтів $m_{\pm}^{(2)}, \dots, m_{a4\pm}^{(0)}$ наведені в [26].

Враховуючи співвідношення (4.9), отримуємо хвильові рівняння для u_2, u_3 в наступному вигляді:

$$\frac{\partial^2 u_2}{\partial z^2} + k_4^2 u_2 = 0, \quad \frac{\partial^2 u_3}{\partial y^2} + k_4^2 u_3 = 0, \quad (4.10)$$

а

$$k_4 = \frac{\omega \sqrt{\rho}}{\sqrt{c_{44}^E(\omega)}}, \quad (4.11)$$

$$\begin{aligned} c_{44}^E(\omega) &= c_{44}^{E0} + \frac{2\tilde{\psi}_4}{\bar{\nu}DT} (\tilde{\delta}_{a4}\Omega_1^a + \tilde{\delta}_{14}2\Omega^b) - \frac{2}{\bar{\nu}DT} (\tilde{\delta}_{a4}^2\Omega_1^a + \tilde{\delta}_{14}^22\Omega^b) - \\ &\frac{2\tilde{\psi}_4}{\bar{\nu}} \frac{1}{4T} \{ \tilde{\psi}_4 [F_{4+}^{(1)}(\omega) + F_{4-}^{(1)}(\omega)] + \tilde{\delta}_{14} [F_{14+}^{(1)}(\omega) + F_{14-}^{(1)}(\omega)] + \tilde{\delta}_{a4} [F_{a4+}^{(1)}(\omega) + F_{a4-}^{(1)}(\omega)] \} + \\ &+ \frac{4\phi_a^n}{\bar{\nu}DT} (\tilde{\delta}_{a4} a a_6 + \tilde{\delta}_{14} \Omega^b) \{ \tilde{\psi}_4 F_{4+}^{(1)}(\omega) + \tilde{\delta}_{a4} F_{a4+}^{(1)}(\omega) + \tilde{\delta}_{14} F_{14+}^{(1)}(\omega) \} + \\ &+ \frac{4\phi_a^n}{\bar{\nu}DT} (\tilde{\delta}_{a4} \frac{a}{a_6} + \tilde{\delta}_{14} \Omega^b) \{ \tilde{\psi}_4 F_{4-}^{(1)}(\omega) + \tilde{\delta}_{a4} F_{a4-}^{(1)}(\omega) + \tilde{\delta}_{14} F_{14-}^{(1)}(\omega) \}. \end{aligned} \quad (4.12)$$

Розв'язуючи рівняння (4.10) і враховуючи (4.2), знаходимо, що

$$\varepsilon_{4E}(y, z) = \frac{\varepsilon_{4E}^{(0)}}{2} \left[-\frac{\cos k_4 l - 1}{\sin k_4 l} (\sin k_4 z + \sin k_4 y) + (\cos k_4 z + \cos k_4 y) \right], \quad (4.13)$$

а $\varepsilon_{4E}^{(0)}$ – граничне значення $\varepsilon_{4E}(y, z)$.

$$\varepsilon_{4E}^{(0)} = \frac{e_{14}(\omega)}{c_{44}^E(\omega)} E_1, \quad (4.14)$$

де

$$\begin{aligned} e_{14}(\omega) &= e_{14}^0 + \frac{\mu_1 \cos \gamma + \mu_2 \sin \gamma}{\nu} \frac{1}{4T} [\tilde{\psi}_4 F_{4+}^{(1)}(\omega) + \tilde{\delta}_{a4} F_{a4+}^{(1)}(\omega) + \tilde{\delta}_{14} F_{14+}^{(1)}(\omega)] + \\ &+ \frac{\mu_1 \cos \gamma - \mu_2 \sin \gamma}{\nu} \frac{1}{4T} [\tilde{\psi}_4 F_{4-}^{(1)}(\omega) + \tilde{\delta}_{a4} F_{a4-}^{(1)}(\omega) + \tilde{\delta}_{14} F_{14-}^{(1)}(\omega)]. \end{aligned} \quad (4.15)$$

Використовуючи вираз, що пов'язує поляризацію P_1 із $(\eta_1^{(1)x} - \eta_3^{(1)x})$ та деформацію ε_4 [26], отримуємо, що

$$P_1(y, z, t) = P_{1E}(y, z) e^{i\omega t}, \quad (4.16)$$

де

$$P_{1E}(y, z) = e_{14}(\alpha\omega) \varepsilon_{4E}(y, z) + \chi_{11}^\varepsilon(\alpha\omega) E_1,$$

а $\chi_{11}^\varepsilon(\alpha\omega)$ – динамічна сприйнятливості затиснутого ДСОФ

$$\begin{aligned} \chi_{11}^\varepsilon(\alpha\omega) &= \chi_{11}^{\varepsilon 0} + \bar{\nu} \frac{(\mu_1 \cos \gamma + \mu_2 \sin \gamma)^2}{\nu^2} \frac{1}{4T} F_+^{(1)}(\omega) + \\ &+ \bar{\nu} \frac{(\mu_1 \cos \gamma - \mu_2 \sin \gamma)^2}{\nu^2} \frac{1}{4T} F_-^{(1)}(\omega). \end{aligned} \quad (4.17)$$

Використовуючи співвідношення

$$\chi_{11}^\sigma(\alpha\omega) = \frac{1}{l^2} \frac{\partial}{\partial E_1} \int_0^l \int_0^l P_{1E}(y, z) dy dz, \quad (4.18)$$

можна розрахувати діелектричну сприйнятливості вільного кристалу $\chi_{11}^\sigma(\alpha\omega)$.

Беручи до уваги вирази (4.16), на основі співвідношення (4.18), отримуємо, що

$$\chi_{11}^\sigma(\omega) = \chi_{11}^\varepsilon(\omega) + \frac{1}{R_4(\omega)} \frac{e_{14}^2(\omega)}{c_{44}^E(\omega)}, \quad (4.19)$$

де

$$\frac{1}{R_4(\omega)} = \frac{2}{k_4 l} \tanh \frac{k_4 l}{2}.$$

IV. Порівняння результатів числових розрахунків з експериментальними даними. Обговорення отриманих результатів

Перейдемо тепер до аналізу результатів числових розрахунків поперечних діелектричних характеристик кристалів Mn_2XO_4 , отриманих в рамках запропонованої моделі і порівняємо їх з відповідними експериментальними даними для цих сполук. При цьому вважатимемо [8], що розвинена нами для ДСОФ теорія є справедлива і для Mn_2XO_4 з усередненими ефективними мікропараметрами. Підставою для цього є суттєве пригнічення тунелювання короткосязжними кореляціями [20-22].

Для числового розрахунку температурних і частотних характеристик кристалів $\text{M}(\text{H}_{1-x}\text{D}_x)_2\text{XO}_4$, які отримані в попередніх розділах, необхідно знайти значення ефективних параметрів. Величини енергій

дейтронних конфігурацій ϵ , w , енергії далекосяжної взаємодії v_c і деформаційних потенціалів ψ_6 , δ_{s6} , δ_{a6} і δ_{l6} беремо такими, як і при розгляді поздовжніх характеристик кристалів $M(H_{1-x}D_x)_2XO_4$ [8].

Аналогічно, значення енергії далекосяжної взаємодії $v_a = v_1 - v_3$, ефективного дипольного моменту μ_1 , який приймаємо незначно залежним від температури $\mu_1 = \mu_1^0 + k_\mu(T - T_c)$, “затравочних” діелектричної сприйнятливості χ_{11}^ϵ , пружної сталої c_{44}^{E0} , коефіцієнта п’єзоелектричної напруги e_{14}^0 , отримані при дослідженні статичних діелектричних, п’єзоелектричних і пружних характеристик [26].

При розгляді динамічних діелектричних проникностей слід визначити часову шкалу релаксаційних процесів, яка визначається параметром α , який отримується слабо залежним від температури, а саме:

$$\alpha = [P + R |\Delta T|] \cdot 10^{-14}, \Delta T = T - T_c.$$

Отриманий набір оптимальних параметрів на основі “прив’язки” розрахованих поперечних характеристик кристалів MH_2XO_4 до даних експериментів наведений у табл. 1.

Таблиця 1.

Оптимальні набори параметрів для KH_2PO_4 (KDP), $K(H_{0,07}D_{0,93})_2PO_4$ (DKDP), RbH_2PO_4 (RDP), KH_2AsO_4 (KDA)

$\frac{\delta_{a6}}{k_B}$ (К)	-500	-1028,41	-500	-500
$\frac{\delta_{l6}}{k_B}$ (К)	-400	-400	-300	-500
$\frac{V_a}{k_B}$ (К)	7	17,57	28	20
μ_1^0 (CGSq·см)	4,27	5,59	3,68	4,85
$k_\mu \cdot 10^{-3}$ ($\frac{CGSq \cdot cm}{K}$)	5,7	4,2	5,7	6,4
χ_{11}^0	0,8	0,64	1,25	0,7
P (с)	0,46	3,43	0,56	3,2
R (с/К)	0,013	0,0072	0,0107	0,014
$\frac{\psi_6}{k_B}$, (К)	124	191,6	152	370
$\frac{\delta_{a4}}{k_B}$, (К)	92	95,2	80	70
$\frac{\delta_{l4}}{k_B}$, (К)	80	312,5	5	30
$c_{44}^0 \cdot 10^{-10}$ ($\frac{дин}{см^2}$)	13	12,84	10,6	10,8
e_{14}^0 ($\frac{CGSq}{см^2}$)	500	500	2000	2000

	KDP	DKDP	RDP	KDA
$\frac{\epsilon}{k_B}$ (К)	56	90,45	60	35,5
$\frac{w}{k_B}$ (К)	422	837,3	440	385
$\frac{v_3(0)}{k_B}$ (К)	17,91	35,36	29,13	17,43
$\frac{\psi_6}{k_B}$ (К)	-150	-139,43	-130	-170
$\frac{\delta_{s6}}{k_B}$ (К)	82	48,18	50	130

На рис. 2-5 наведено температурно-частотні залежності $\epsilon'_{11}(\omega)$ і $\epsilon''_{11}(\omega)$ для KH_2PO_4 , $K(H_{0,07}D_{0,93})_2PO_4$, RbH_2PO_4 і KH_2AsO_4 , розрахунки яких проведені в широкому температурному і частотному діапазонах. Отримано добрий кількісний опис наявних експериментальних даних

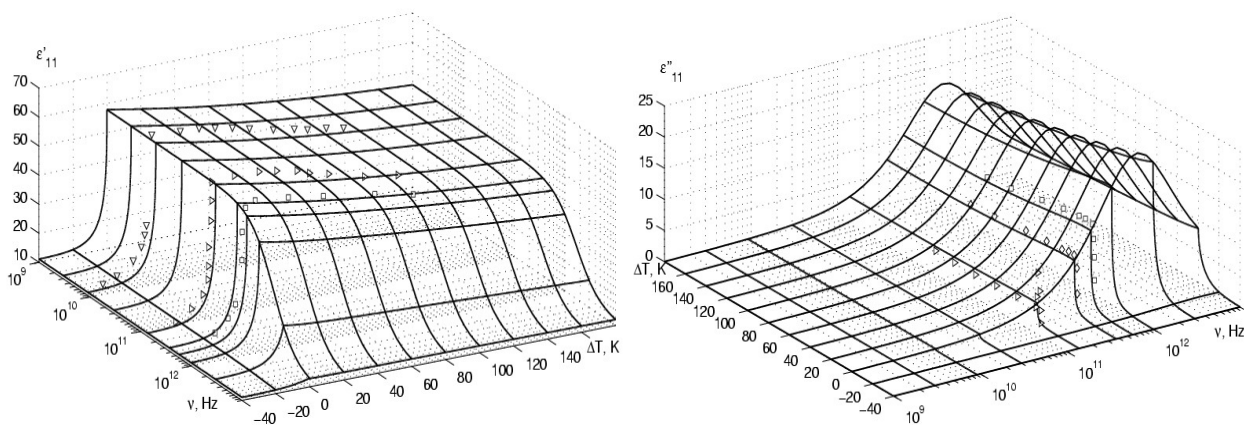


Рис. 2. Частотно-температурна залежність ϵ'_{11} і ϵ''_{11} KH_2PO_4 . ∇ – [27], \triangleright , \square – [19]. Точки – експериментальні дані, лінії – теоретичні значення.

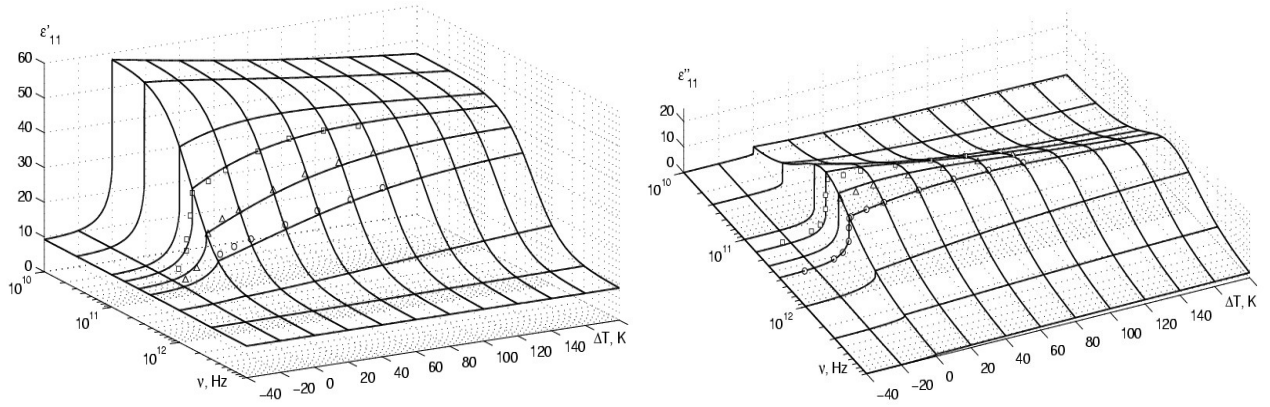


Рис. 3. Частотно-температурна залежність ϵ'_{11} і ϵ''_{11} $\text{K}(\text{H}_{0,07}\text{D}_{0,93})_2\text{PO}_4$. \square , Δ , \circ – [19]. Точки – експериментальні дані, лінії – теоретичні значення.

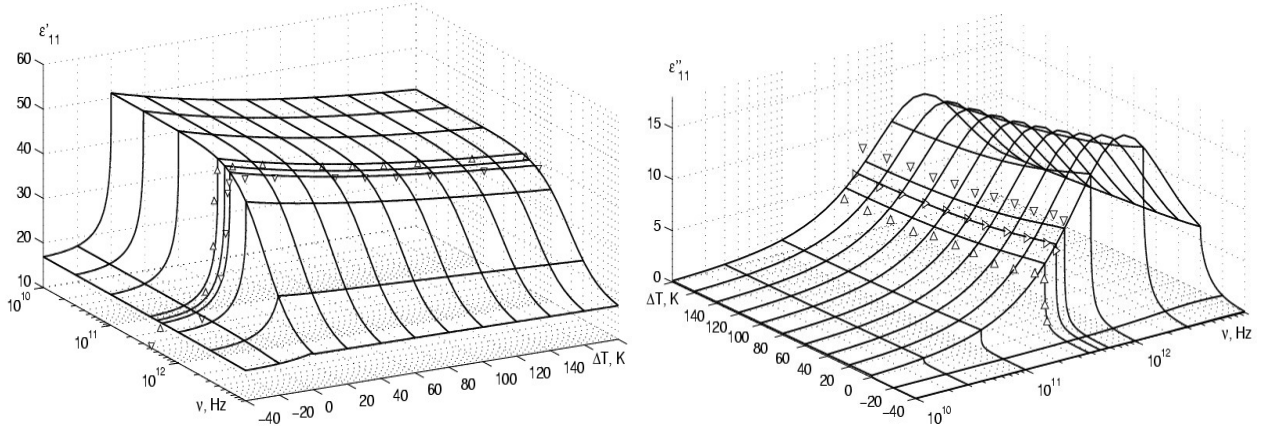


Рис. 4. Частотно-температурна залежність ϵ'_{11} і ϵ''_{11} RbH_2PO_4 . Δ , ∇ – [28]. Точки – експериментальні дані, лінії – теоретичні значення.

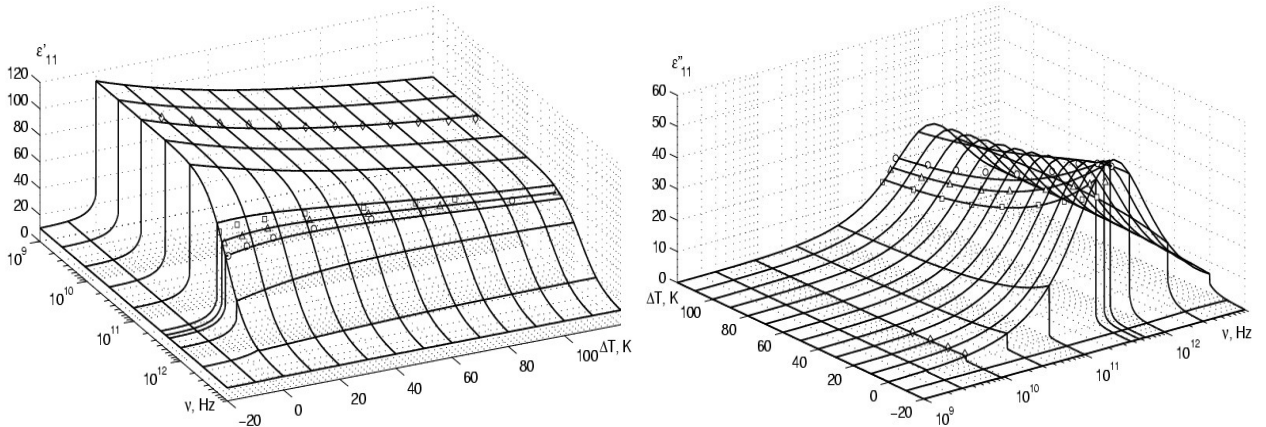


Рис. 5. Частотно-температурна залежність ϵ'_{11} і ϵ''_{11} KH_2AsO_4 . \diamond – [27]; \square , Δ , \circ – [28]. Точки – експериментальні дані, лінії – теоретичні значення.

Проаналізуємо тепер температурні і частотні залежності розрахованих динамічних характеристик механічно вільних кристалів $\text{M}(\text{H}_{1-x}\text{D}_x)_2\text{XO}_4$, які вирізані у вигляді квадратної пластинки зі сторонами $l=1$ мм у площині $[1,0,0]$. З рівняння для резонансних частот

$$\nu_n = \frac{2n+1}{2l} \sqrt{\frac{c_{44}^E}{\rho}}$$

для KH_2PO_4 і $n=1$, зокрема отримуємо, що $\nu_1 = 1,185943424$ МГц, а резонанс ϵ'_{11} спостерігається в дуже вузькому частотному околі, а саме $1,185943423 - 1,185943425$ МГц. Величина ж $\epsilon'_{11}(\nu_1)$ досягає значення $\approx 10^7$.

На відміну від температурного ходу $\epsilon_{33}^{*\sigma}(\omega, T)$ [8], в якому в обох фазах є по кілька резонансних піків, на кривих же $\epsilon_{11}^{*\sigma}(\omega, T)$ при певній частоті має

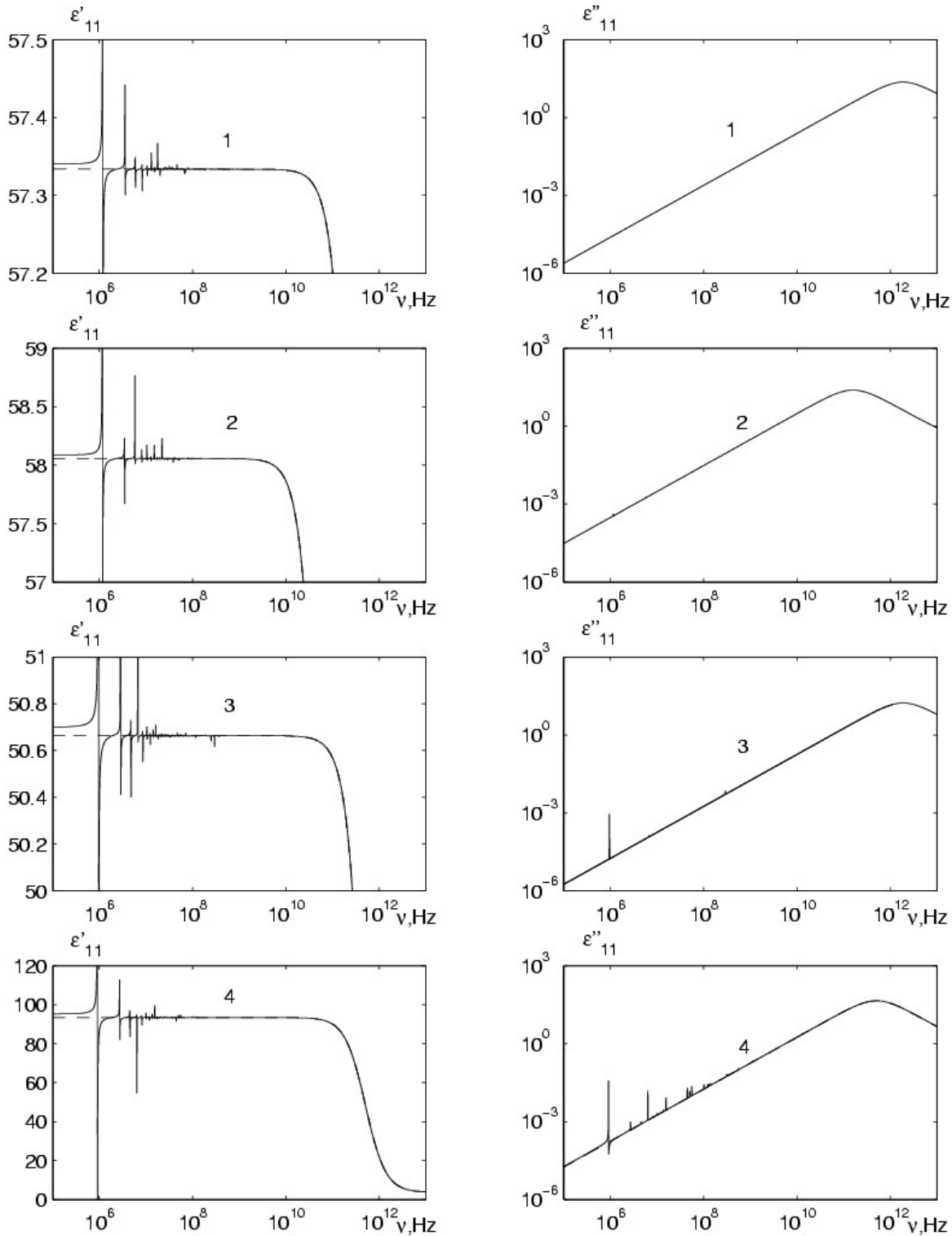


Рис. 6. Частотні залежності дійсної та уявної частини діелектричної проникності вільних кристалів KH_2PO_4 (1), $\text{K}(\text{H}_{0,07}\text{D}_{0,93})_2\text{PO}_4$ (2), RbH_2PO_4 (3), KH_2AsO_4 (4) при температурі $\Delta T = 5 \text{ K}$.

місце один резонансний пік. Це пов'язано з тим, що c_{66}^E є температурно залежною величиною, а c_{44}^E практично сталою в обох фазах. Для кристалів KH_2PO_4 , $\text{K}(\text{H}_{0,07}\text{D}_{0,93})_2\text{PO}_4$, RbH_2PO_4 і KH_2AsO_4 при однаковому значенні n резонансні піки спостерігаються при різних ΔT .

Частотні залежності дійсної та уявної частин

діелектричної проникності $\varepsilon_{11}^{*\sigma}(\omega, T)$ кристалів KH_2PO_4 , $\text{K}(\text{H}_{0,07}\text{D}_{0,93})_2\text{PO}_4$, RbH_2PO_4 та KH_2AsO_4 при температурі $\Delta T = 5 \text{ K}$ наведені на рис. 6. В області частот $10^6 - 10^8 \text{ Гц}$ має місце дисперсія резонансного типу. При $\omega \rightarrow 0$ отримуємо статичну діелектричну проникність вільного кристалу. Штрихова лінія відповідає низькочастотному ходу проникності

затиснутого кристалу. Вище від резонансних частот спостерігається затискання кристалу високочастотним полем і для проникності затиснутого кристалу вище частот 10^9 Гц має місце дисперсія релаксаційного типу. Невеликі значення резонансних піків для $\varepsilon_{11}^{\sigma}(\omega, T)$ обумовлені тим, що вони не відповідають точно резонансним частотам. Щоб досягнути цього, розрахунок потрібно було б проводити з кроком $\Delta\nu = 10^{-9}$ Гц.

Завершальні зауваження

У даній роботі розглянуто модифіковану протонну модель, у межах якої можна вивчати

впливи механічної напруги σ_4 та електричного поля E_1 з врахуванням спонтанної деформації ε_6 на поперечні динамічні проникності механічно затиснутих і механічно вільних кристалів типу KD_2PO_4 . Показано, що в певній частотній області спостерігається п'єзоелектричний резонанс. Запропонована теорія задовільно описує експериментальні дані для кристалів $\text{M}(\text{H}_{1-x}\text{D}_x)_2\text{XO}_4$.

Левицький Р.Р. – доктор фізико-математичних наук, професор, провідний науковий співробітник інституту;

Зачек І.Р. – кандидат фізико-математичних наук, доцент кафедри фізики;

Вдович А.С. – інженер I категорії інституту.

- [1] И.В. Стасюк, И.Н. Билецкий. *Фазовые переходы в одноосного-деформированных сегнетоэлектриках типа KD_2PO_4* . Препринт АН УССР. Ин-т теор. физ. ИТФ-83-93Р, Киев, 25 с. (1983).
- [2] И.В. Стасюк, И.Н. Билецкий, О.Н. Стягар. Индуцированные внешним давлением фазовые переходы в кристаллах KD_2PO_4 // *УФЖ*, **31**(4), сс. 567-571 (1986).
- [3] I.V. Stasyuk, R.R. Levitskii, I.R. Zachek, A.P. Moina. The KD_2PO_4 ferroelectrics in external fields conjugate to the order parameter: Shear stress σ_6 // *Phys. Rev. B*, **62**(10), pp. 6198-6207 (2000).
- [4] I.V. Stasyuk, R.R. Levitskii, A.P. Moina, B.M. Lisnii. Longitudinal field influence on phase transition and physical properties of the KN_2PO_4 family ferroelectrics // *Ferroelectrics*, **254**, pp. 213-227 (2001).
- [5] R.R. Levitskii, B.M. Lisnii. Theory of related to shear strain u_6 physical properties of ferroelectrics and antiferroelectrics of the KN_2PO_4 family // *Phys. stat. sol. (b)*, **241**(6), pp. 1350-1368 (2004).
- [6] Р.Р. Левицький, Б.М. Лісний, Теорія п'єзоелектричних, пружних та діелектричних властивостей кристалів сім'ї KN_2PO_4 при деформації u_6 . Фазовий перехід та п'єзоэффект у кристалі KN_2PO_4 // *Журн. фіз. досл.*, **7**(4), сс. 431-445 (2003).
- [7] I.V. Стасюк, Н.М. Камінська. Теорія спонтанної поляризації і деформації сегнетоелектриків типу KN_2PO_4 . // *УФЖ*, **19**(2), сс. 237-252 (1974).
- [8] [8] Левицький Р.Р., Зачек І.Р., Вдович А.С. *Поздовжні діелектричні, п'єзоелектричні, пружні, динамічні та теплові властивості сегнетоелектриків типу KN_2PO_4* . Препринт НАН України. Ін-т фіз. конд. систем; ІСМР-06-08U, Львів, 116 с. (2006).
- [9] S. Halvin, E. Litov, H. Sompolinsky. Theoretical and experimental studies of the transverse dielectric properties of KD_2PO_4 // *Phys. Rev. B*, **13**(11), pp. 4999-5006 (1976).
- [10] H. Sompolinsky, S. Halvin. Effect of short-range interactions on the transverse dynamics of KD_2PO_4 // *Phys. Rev. B*, **16**(7), pp. 3223-3229 (1977).
- [11] S. Halvin. Longitudinal and transverse dielectric constants of KDP-type ferro- and antiferroelectrics // *Ferroelectrics*, **71**, pp. 183-223 (1987).
- [12] K.E. Gauss, H. Happ. Millimeter Wave Investigation of the Complex Dielectric Constant in DKDP // *Phys. stat. sol. (b)*, **78**, pp. 133-138 (1976).
- [13] K.E. Gauss, H. Happ, G. Rother. Millimeter wave and far-infrared investigation on KDP with assymetric interferometers // *Phys. Stat. Sol. B*, **72**(2), pp. 623-630 (1975).
- [14] Р.Р. Левицький, І.Р. Зачек. *Релаксаційна динаміка в дейтерированих ортофосфатах вздовж несегнетоелектричної осі*. Препринт АН УССР. Ін-т теор. физ.; ИТФ-80-105Р, Киев, 39 с. (1980).
- [15] Р.Р. Левицький, І.Р. Зачек, Е.В. Миц, А.А. Волков, Г.В. Козлов, С.П. Лебедев. *Продольная и поперечная релаксація в KD_2PO_4* . Препринт АН УССР. Ін-т теор. физ.; ИТФ-81-94Р, Киев, 36 с. (1981).
- [16] Р.Р. Левицький, І.Р. Зачек, Е.В. Миц. *К теорії релаксаційних явишень в дейтерированих сегнетоелектричних ортофосфатах*. Препринт АН УССР. Ін-т теор. физ.; ИТФ-82-131Р, Киев, 42 с. (1982).
- [17] Р.Р. Левицький, І.Р. Зачек, Е.В. Миц. Поперечная релаксація в сегнетоелектриках типу $\text{M}(\text{H}_{1-x}\text{D}_x)_2\text{PO}_4$ // Препринт АН УССР. Ін-т теор. физ.; ИТФ-87-115Р, Киев, 48 с. (1987).
- [18] Р.Р. Левицький, І.Р. Зачек, Е.В. Миц. *Релаксаційна динаміка і термодинамічні властивості сегнетоелектриків з водородними зв'язками типу KDP-DKDP*. Препринт АН УССР. Ін-т теор. физ.; ИТФ-89-7Р, Киев, 45 с. (1989).

- [19] А.А. Волков, Г.В. Козлов, С.П. Лебедев, И.А. Величко. Диэлектрические спектры смешанных кристаллов KDP-DKDP в субмиллиметровом диапазоне волн // *ФТТ*, **21**(11), сс. 3304-3309 (1979).
- [20] I.V. Stasyuk, R.R. Levitskii, N.A. Korinevskii. Collective vibrations of protons in compounds of KH_2PO_4 -type. The cluster approximation // *Phys. Stat. Sol. (b)*, **91**(2), pp. 541-550 (1979).
- [21] R.R. Levitskii, I.V. Stasyuk, N.A. Korinevsky. Dynamics of ferroactive crystals of orthophosphate type // *Ferroelectrics*, **21**, pp. 481-483 (1978).
- [22] Кориневский Н.А., Левицкий Р.Р. Динамическая теория ортофосфатов в кластерном приближении // *Теорет. и мат. физика*, **42**(3), сс. 416-429 (1980).
- [23] В.М. Lisnii, R.R. Levitskii. Theory of physical properties of ferro- and antiferroelectrics of the KH_2PO_4 family related to strains u_4 and u_5 // *Ukr. J. Phys.*, **49**(7), pp. 701-709 (2004).
- [24] Р.Р. Левицький, А.П. Моїна, Б.М. Лісний. Вплив поздовжнього електричного поля на фазовий перехід і фізичні властивості сегнетоелектриків сім'ї KH_2PO_4 // Препринт НАН України. Ін-т фіз. конд. систем; ІСМР-00-12U, Львів, 36 с. (2000).
- [25] J. Glauber. Time-dependent statistics of the Ising model // *J. Math. Phys.*, **4**(2), pp. 294-307 (1963).
- [26] Р.Р. Левицький, І.Р. Зачек, А.С. Вдович. Поперечні діелектричні, п'єзоелектричні, пружні та динамічні властивості сегнетоелектриків типу KH_2PO_4 // Препринт НАН України. Ін-т фіз. конд. систем; ІСМР-07-24U, Львів, 80 с. (2007).
- [27] I.P. Kaminov. Microwave dielectric properties of $\text{NH}_4\text{H}_2\text{PO}_4$, KH_2AsO_4 and partially deuterated KH_2PO_4 // *Phys. Rev.*, **138**(5A), pp. 1539-1543 (1965).
- [28] A.A. Volkov, G.V. Kozlov, S.P. Lebedev, A.M. Prokhorov. Proton modes in the crystals of KH_2PO_4 family // *Ferroelectrics.*, **25**(1-4), pp. 531-534 (1980).

R.R. Levitsky¹, I.R. Zachek², A.S. Vdovych¹

Transverse Relaxation in the Ferroelectrics with Hydrogen Bonds of KH_2PO_4 Family

¹*Institute for Condensed Matter Physics of the National Academy of Sciences of Ukraine,*

1, Svientsitskii Str., 79011, Lviv, Ukraine

²*National University 'Lvivska Politechnika'*

12, S. Bandera Str., 79013, Lviv, Ukraine

Within the modified proton ordering model with taking into account linear in strain ϵ_6 and ϵ_4 contributions to the energy of proton system within the four-particle cluster approximation for short-range and the mean-field approximation for long-range interactions we have calculated transverse dynamic dielectric characteristics for the mechanically clamped and the mechanically free KD_2PO_4 type crystals. Numerical analysis of the obtained results is performed. The set of the theory parameters providing the best fit to the available experimental data for KH_2PO_4 , $\text{K}(\text{H}_{0.07}\text{D}_{0.93})_2\text{PO}_4$, KH_2AsO_4 and RbH_2PO_4 ferroelectrics is found.

Key words: ferroelectrics, cluster approximation, transverse dynamic permittivity, piezoelectric resonance.